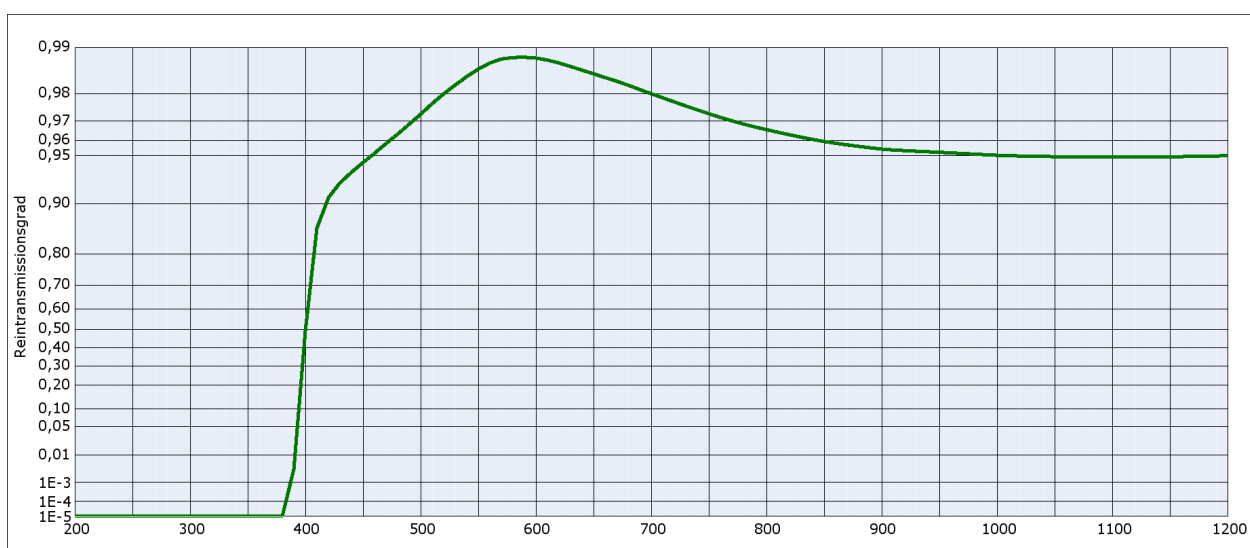
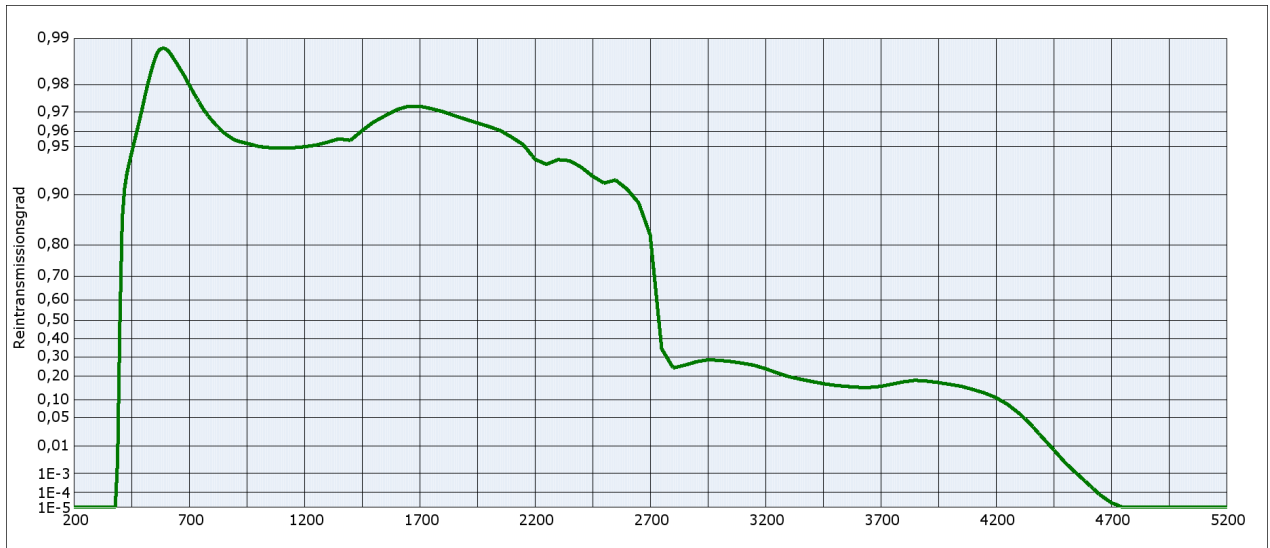


| | | | | | |
|---|-----------|---|------|--|--|
| GG400 | | Dichte | | Bemerkungen | |
| | | ρ [g/cm ³] | 2,55 | Anlaufglas | |
| Reflexionsfaktor | | Blasenhaltigkeit | | Langpassfilter | |
| P_d | 0,918 | Blasenklasse | 3 | | |
| Referenzdicke | | Chemische Haltbarkeit | | | |
| d [mm] | 3 | FR Klasse | 0 | | |
| Spektrale Garantiewerte | | SR Klasse | 1.0 | | |
| λ_c ($\tau_i = 0.5$) [nm] | = 400 ± 6 | AR Klasse | 1.0 | | |
| λ_s ($\tau_{i,U} = 10^{-5}$) [nm] | = 340 | Transformationstemperatur | | | |
| λ_p ($\tau_{i,L} = 0.93$) [nm] | = 480 | T_g [°C] | 537 | | |
| | | Wärmeausdehnung | | | |
| | | $\alpha_{30/70^\circ\text{C}}$ [10 ⁻⁶ /K] | 7,9 | | |
| | | $\alpha_{20/300^\circ\text{C}}$ [10 ⁻⁶ /K] | 9,1 | | |
| | | $\alpha_{20/200^\circ\text{C}}$ [10 ⁻⁶ /K] | | | |
| Brechzahl n | | Temperaturkoeffizient | | | |
| n_e (546.1 nm) = 1.530 | | T_K [nm/°C] | 0,07 | Alle Angaben ohne Toleranzen sind als Richtwerte zu verstehen. | |
| n_d (587.6 nm) = 1.520 | | | | Spezifizierte Werte sind lediglich die unter "Spektrale Garantiewerte" aufgeführten Angaben. | |
| n_s (852.1 nm) = 1.520 | | | | | |
| n_i (1014.0 nm) = 1.510 | | | | | |

| Farbmetrische Auswertung | | | | | | | | | | | | |
|--------------------------|-----------------------|-------|-------|------------------|-------------------|-------|-------|------------------|-------------------------------|-------|-------|--|
| Lichtart | A (Planck T = 2856 K) | | | Lichtart | Planck T = 3200 K | | | Lichtart | D65 (T _c = 6504 K) | | | |
| d [mm] | 1 | 2 | 3 | d [mm] | 1 | 2 | 3 | d [mm] | 1 | 2 | 3 | |
| x | 0,448 | 0,449 | 0,450 | x | 0,424 | 0,425 | 0,426 | x | 0,314 | 0,315 | 0,316 | |
| y | 0,408 | 0,409 | 0,410 | y | 0,400 | 0,401 | 0,402 | y | 0,331 | 0,333 | 0,335 | |
| Y | 91 | 91 | 90 | Y | 91 | 91 | 90 | Y | 91 | 91 | 90 | |
| λ_d [nm] | 581 | 581 | 581 | λ_d [nm] | 579 | 579 | 579 | λ_d [nm] | 570 | 571 | 571 | |
| P_e | 0,01 | 0,02 | 0,03 | P_e | 0,01 | 0,02 | 0,03 | P_e | 0,01 | 0,02 | 0,03 | |





Reintransmissionsgrad τ_i bei der Referenzdicke $d = 3 \text{ mm}$
Die Reintransmissionsgrade, tabellarisch und graphisch, sind als Richtwerte zu verstehen.

| λ [nm] | τ_i | λ [nm] | τ_i | λ [nm] | τ_i | λ [nm] | τ_i | λ [nm] | τ_i | λ [nm] | τ_i |
|----------------|---------------------|----------------|----------|----------------|----------|----------------|----------|----------------|----------|----------------|---------------------|
| 200 | $< 10^{-5}$ | 500 | 0,973 | 800 | 0,966 | 1100 | 0,949 | 2200 | 0,940 | 3700 | 0,154 |
| 210 | $< 10^{-5}$ | 510 | 0,977 | 810 | 0,965 | 1110 | 0,949 | 2250 | 0,935 | 3750 | 0,164 |
| 220 | $< 10^{-5}$ | 520 | 0,980 | 820 | 0,963 | 1120 | 0,949 | 2300 | 0,940 | 3800 | 0,174 |
| 230 | $< 10^{-5}$ | 530 | 0,982 | 830 | 0,962 | 1130 | 0,949 | 2350 | 0,939 | 3850 | 0,181 |
| 240 | $< 10^{-5}$ | 540 | 0,985 | 840 | 0,961 | 1140 | 0,949 | 2400 | 0,933 | 3900 | 0,177 |
| 250 | $< 10^{-5}$ | 550 | 0,986 | 850 | 0,959 | 1150 | 0,949 | 2450 | 0,923 | 3950 | 0,170 |
| 260 | $< 10^{-5}$ | 560 | 0,987 | 860 | 0,958 | 1160 | 0,949 | 2500 | 0,915 | 4000 | 0,163 |
| 270 | $< 10^{-5}$ | 570 | 0,988 | 870 | 0,957 | 1170 | 0,950 | 2550 | 0,919 | 4050 | 0,154 |
| 280 | $< 10^{-5}$ | 580 | 0,988 | 880 | 0,956 | 1180 | 0,950 | 2600 | 0,908 | 4100 | 0,140 |
| 290 | $< 10^{-5}$ | 590 | 0,988 | 890 | 0,956 | 1190 | 0,950 | 2650 | 0,888 | 4150 | 0,127 |
| 300 | $< 10^{-5}$ | 600 | 0,988 | 900 | 0,955 | 1200 | 0,950 | 2700 | 0,825 | 4200 | 0,109 |
| 310 | $< 10^{-5}$ | 610 | 0,988 | 910 | 0,954 | 1250 | 0,951 | 2750 | 0,344 | 4250 | $8,6 \cdot 10^{-2}$ |
| 320 | $< 10^{-5}$ | 620 | 0,987 | 920 | 0,954 | 1300 | 0,953 | 2800 | 0,242 | 4300 | $6,0 \cdot 10^{-2}$ |
| 330 | $< 10^{-5}$ | 630 | 0,987 | 930 | 0,953 | 1350 | 0,956 | 2850 | 0,256 | 4350 | $3,7 \cdot 10^{-2}$ |
| 340 | $< 10^{-5}$ | 640 | 0,986 | 940 | 0,953 | 1400 | 0,955 | 2900 | 0,274 | 4400 | $1,8 \cdot 10^{-2}$ |
| 350 | $< 10^{-5}$ | 650 | 0,985 | 950 | 0,953 | 1450 | 0,961 | 2950 | 0,285 | 4450 | $7,9 \cdot 10^{-3}$ |
| 360 | $< 10^{-5}$ | 660 | 0,984 | 960 | 0,952 | 1500 | 0,965 | 3000 | 0,282 | 4500 | $2,8 \cdot 10^{-3}$ |
| 370 | $< 10^{-5}$ | 670 | 0,983 | 970 | 0,952 | 1550 | 0,968 | 3050 | 0,276 | 4550 | $9,8 \cdot 10^{-4}$ |
| 380 | $< 10^{-5}$ | 680 | 0,982 | 980 | 0,951 | 1600 | 0,971 | 3100 | 0,267 | 4600 | $3,0 \cdot 10^{-4}$ |
| 390 | $3,4 \cdot 10^{-3}$ | 690 | 0,981 | 990 | 0,951 | 1650 | 0,972 | 3150 | 0,256 | 4650 | $7,3 \cdot 10^{-5}$ |
| 400 | 0,491 | 700 | 0,980 | 1000 | 0,950 | 1700 | 0,973 | 3200 | 0,238 | 4700 | $2,2 \cdot 10^{-5}$ |
| 410 | 0,859 | 710 | 0,979 | 1010 | 0,950 | 1750 | 0,972 | 3250 | 0,217 | 4750 | $< 10^{-5}$ |
| 420 | 0,908 | 720 | 0,977 | 1020 | 0,950 | 1800 | 0,970 | 3300 | 0,199 | 4800 | $< 10^{-5}$ |
| 430 | 0,926 | 730 | 0,976 | 1030 | 0,950 | 1850 | 0,968 | 3350 | 0,186 | 4850 | $< 10^{-5}$ |
| 440 | 0,936 | 740 | 0,975 | 1040 | 0,950 | 1900 | 0,967 | 3400 | 0,176 | 4900 | $< 10^{-5}$ |
| 450 | 0,945 | 750 | 0,973 | 1050 | 0,949 | 1950 | 0,965 | 3450 | 0,166 | 4950 | $< 10^{-5}$ |
| 460 | 0,952 | 760 | 0,972 | 1060 | 0,949 | 2000 | 0,963 | 3500 | 0,159 | 5000 | $< 10^{-5}$ |
| 470 | 0,958 | 770 | 0,970 | 1070 | 0,949 | 2050 | 0,961 | 3550 | 0,154 | 5050 | $< 10^{-5}$ |
| 480 | 0,964 | 780 | 0,969 | 1080 | 0,949 | 2100 | 0,957 | 3600 | 0,150 | 5100 | $< 10^{-5}$ |
| 490 | 0,969 | 790 | 0,967 | 1090 | 0,949 | 2150 | 0,951 | 3650 | 0,149 | 5150 | $< 10^{-5}$ |